Ga₂O₃ (010) 基板上に RF-MBE 成長した(AlGa)₂O₃ 薄膜の構造解析

Structural Analysis of (AlGa)₂O₃ Thin Films on Ga₂O₃ (010) Substrates Grown by RF-MBE

情通機構1, タムラ製作所2

リンガパルティ ラビキラン¹, 中田 義昭¹, 倉又 朗人², 山腰 茂伸², ○東脇 正高¹

NICT¹, Tamura Corp.², Lingaparthi Ravikiran¹, Yoshiaki Nakata¹, Akito Kuramata², Shigenobu Yamakoshi², [°]Masataka Higashiwaki¹

E-mail: mhigashi@nict.go.jp

 Ga_2O_3 は、そのバンドギャップ値が 4.5 eV と、単結晶半導体としては唯一無二であるその値に 起因する、様々な特徴的な物性から近年注目を集めている。我々は、これまで主にパワーエレクトロニクスへの応用を目指した Ga_2O_3 トランジスタ、ショットキーバリアダイオードの開発について報告してきた [1,2]。今回、横型 Ga_2O_3 FET のバックバリアとしての応用を念頭に、 β - Ga_2O_3 (010)基板上に $(AlGa)_2O_3$ 薄膜の RF-MBE 成長を行い、その構造評価を行ったので報告する。

本研究においては、サンプル $A\sim D$ 4 種類の $(AlGa)_2O_3$ 薄膜を用意した。 $(AlGa)_2O_3$ 薄膜は、全て Sn ドープ Ga_2O_3 (010)基板上に 620°C で成長した。Ga ビームフラックスは、成長速度 300 nm/h に 相当する 1.4×10^{-7} Torr に固定し、同時に供給する Al ビームフラックスを 0.8, 1.6, 2.7, 3.8×10^{-8} Torr とサンプル $A\sim D$ 順に増加することで、Al 組成を変調した。O ラジカル供給条件は、プラズマパワー 250 W、 O_2 流量 2.0 sccm とした。 Ga_2O_3 成長速度と時間から計算した $(AlGa)_2O_3$ 薄膜の成長 膜厚は、 $100\sim120$ nm 程度となる。

Fig. 1 に、サンプル A~D の X 線回折 (XRD) ω -2 θ スキャン結果を示す。サンプル A, B においては、 Ga_2O_3 基板からの(020)回折ピークの高角度側(右側)に、明瞭な(AlGa) $_2O_3$ 層からの(020)回折ピークおよびフリンジが観測される。一方、より Al 組成が高いサンプル C においては、(AlGa) $_2O_3$ (020)ピークがかなりブロードになると同時に、フリンジが消失している。更に Al 組成が高いサンプル D では、メインピークも観察されていない。Figs. 2(a), (b)に、サンプル A, B の(420)面逆格子マッピング (RSM) をそれぞれ示す。両サンプル共に、(AlGa) $_2O_3$ は格子緩和が生じず、コヒーレント成長が実現していることが分かる。これらの XRD 実験結果から求めた、サンプル A, B の Al 組成はそれぞれ 7, 15%であった。また、別途行った X 線反射率 (XRR) 測定結果から導出したサンプル A~D の Al 組成は、それぞれ 8, 16, 22~25, 26~30%であった。このように、XRD, XRR 両手法から導出したサンプル A, B の Al 組成は良く一致した。

本研究の一部は、総合科学技術・イノベーション会議の SIP (戦略的イノベーション創造プログラム)「次世代パワーエレクトロニクス」(管理法人: NEDO) によって実施されました。

- [1] M. H. Wong et al., IEEE Electron Device Lett. 37, 212 (2016).
- [2] K. Konishi et al., Appl. Phys. Lett. 110, 103506 (2017).

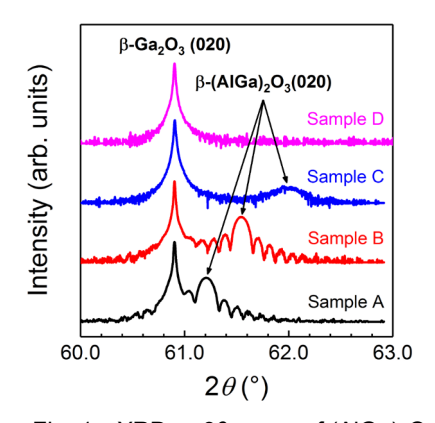


Fig. 1 XRD ω -2 θ scans of (AlGa)₂O₃ layers on Ga₂O₃ (010) substrates.

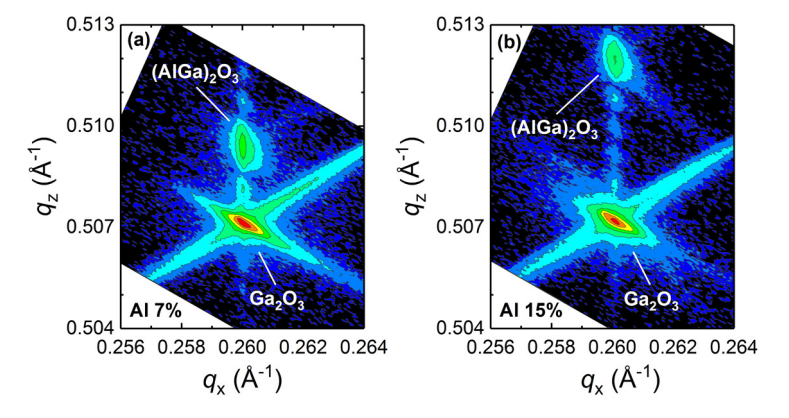


Fig. 2 (420) RSMs of $(AIGa)_2O_3$ layers on Ga_2O_3 (010) substrates: (a) sample A, (b) sample B.